

$$I_3 = \int [(-2D^3 + Ri((-3\eta/2 + 2\eta^2)D^2 + (\sigma_0 + 1 - \eta)D))u_0 + \\ + Ri(\sigma_0 + 1 - \eta)(2l_1 + (6\eta - 4)l_2)]w d\eta$$

Отметим, что из неравенства нулю определителя системы (2.7) следует сходимость рядов (2.1) для достаточно малых  $\lambda$  [3]. Некоторые соответствующие  $\sigma_0 = -0.5$  результаты решения уравнения (2.6) представлены ниже.

$R$	0.01	100	125	145	195	700	1300	1400
$G_1$	1.535	1.442	1.422	-2.504	0.818	3.049	2.949	2.939
$\sigma_1$	0.499	0.376	-0.85	-3.311	-0.582	-0.029	-0.018	-0.017

Автор признателен А. И. Снопову за постановку задачи, В. В. Скрипачеву, В. И. Юдовичу, А. Л. Уринцеву за полезные обсуждения.

Поступила 13 VIII 1973

#### ЛИТЕРАТУРА

1. Крылов А. Л., Шустер В. Г. Об устойчивости центрального положения шара в гидродинамическом подшипнике. Докл. АН СССР, 1966, т. 169, № 5.
2. Уринцев А. Л. Об устойчивости равномерного вращения ненагруженного шара в гидродинамическом подшипнике. Изв. АН СССР, МЖГ, 1974, № 1.
3. Красносельский М. А., Вайникко Г. М., Забрейко П. П., Рутцкий Я. Б., Стеценко В. Я. Приближенное решение операторных уравнений. М., «Наука», 1969.

УДК 532.517.4

### К РАСЧЕТУ СПЕКТРА ИЗОТРОПНОЙ ТУРБУЛЕНТНОСТИ

К. Е. ДЖАУГАШТИН (Ленинград)

На основе полуэмпирической теории турбулентности найдена спектральная функция изотропной турбулентности.

Динамическое стационарное уравнение спектральной функции поля скорости изотропной турбулентности  $E(k)$  имеет вид [1]

$$(1) \quad T(k) - 2\nu k^2 E(k) = 0$$

где  $k$  — волновое число,  $T(k)$  — функция переноса,  $\nu$  — кинематическая вязкость. Вследствие незамкнутости уравнения (1) основным способом его решения в настоящее время является полуэмпирический метод. На основе интуитивных физических соображений функция переноса  $T(k)$  выражается через спектральную функцию и волновое число. Решения уравнения (1), полученные таким образом для области универсального равновесия, согласуются с «законом  $5/3$ » Колмогорова, но при больших значениях  $k$ , как правило, приводят к неверным физическим результатам [1]. В настоящей статье на основе полуэмпирического метода построена спектральная функция, удовлетворяющая закону Колмогорова в инерционной области и физически правильному асимптотическому поведению в области больших волновых чисел.

Для решения спектрального уравнения (1) получим предварительно, как и обычно, выражение для члена  $T(k)$ . Вычислим для этого изменение плотности кинетической энергии  $E$  в точке с волновым числом  $k$ . Следует иметь в виду, что изменение плотности кинетической энергии происходит как за счет потока энергии по спектру волновых чисел, так и за счет непосредственного воздействия вязкости, вызывающей диссипацию энергии. Оба фактора приводят к уменьшению энергии. Изменение величины  $E$  за счет инерционного переноса энергии по аналогии с релаксационными процессами можно принять пропорциональным величине спектральной функции, функции переноса и интервалу волнового числа  $(-TE dk)$ . Такой же зависимостью выражим уменьшение энергии за счет диссипации  $(-Te_v dk)$ , где в качестве энергии примем масштаб энергии, характерный для области наибольшей диссипации  $e_v = v^{1/4} \epsilon^{1/4}$  ( $\epsilon$  — полная диссипация энергии). Таким образом, величину  $dE$  запишем в виде:

$$(2) \quad dE = \text{const } TA^{-1} (cEdk + e_v dk)$$

где  $c$  — постоянная, определяемая ниже. Величина  $A$  в формуле записана из соображений размерностей. Из основных параметров равновесной области спектра  $\epsilon$ ,  $v$  и волнового числа  $k$  можно составить единственную комбинацию для  $A$  вида

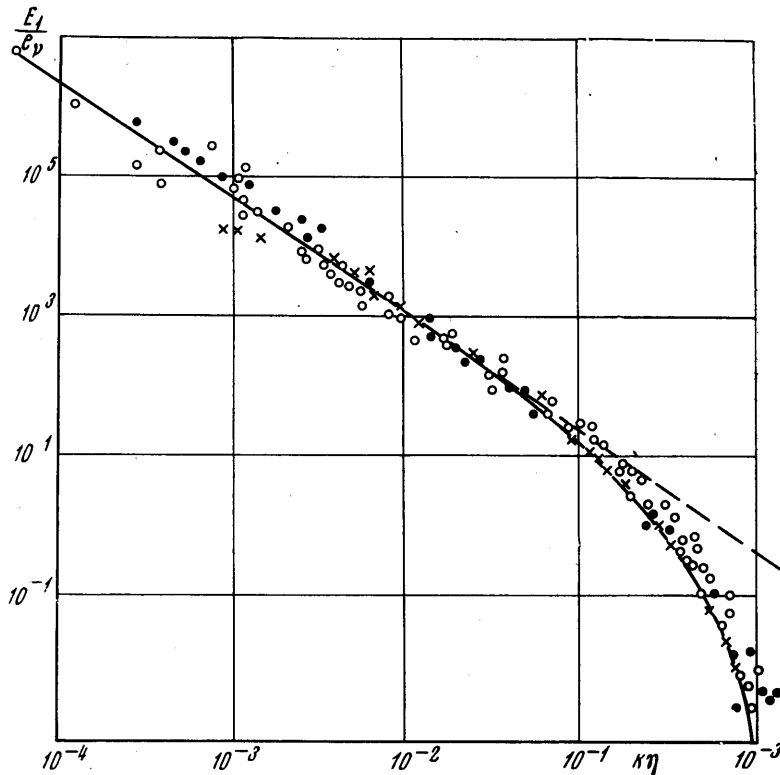
$$(3) \quad A = \epsilon^{1-\alpha/3} k^{4/\alpha} v^\alpha$$

где  $\alpha$  — число, значение которого будет определено ниже. Используя (2) и (3), получим выражение для функции переноса, которое для дальнейшего удобно записать

в виде

$$-T(k) = \frac{6}{5} \kappa^{-(3-4/3)\alpha} \frac{\varepsilon^{(1-\alpha/3)} k^{4/3\alpha} v^\alpha}{v^{5/4} \varepsilon^{1/4}} \left( 1 + c \frac{E}{e_v} \right)^{-1} \frac{dE}{dk}$$

где  $\kappa$  — эмпирическая постоянная.



Фиг. 1

Подставляя выражение для  $T(k)$  в (1) и вводя масштаб длины Колмогорова  $\eta = v^{3/4} \varepsilon^{-1/4}$ , получим следующее уравнение для спектральной функции:

$$(5) \quad - \left[ E \left( 1 + c \frac{E}{e_v} \right) \right]^{-1} \frac{dE}{dk} = \frac{5}{3} (\kappa \eta)^{3-4/3\alpha} k^{2-4/3\alpha}$$

Решение этого уравнения имеет вид

$$(6) \quad \frac{E}{e_v} = c \left\{ \exp \left[ \frac{5}{9-4\alpha} (\kappa \eta k)^{3-4/3\alpha} + c_1 \right] - 1 \right\}^{-1}$$

где  $c_1$  — постоянная интегрирования.

Определим постоянные  $\alpha$ ,  $c$  и  $c_1$ . В области относительно малых волновых чисел (инерционная область) распределение энергии из соображения размерности должно удовлетворять закону  $5/3$ . Разлагая экспоненту (6) в ряд и удерживая в нем первые два члена, можно убедиться, что закон Колмогорова выполняется при  $\alpha=1$ ,  $c_1=0$ . При этом получим следующее выражение для спектральной функции:

$$(7) \quad \frac{E}{e_v} = c [\exp(\kappa \eta k)^{5/3} - 1]^{-1}$$

Для определения постоянной  $c$  воспользуемся выражением для полной диссиpации, т. е. интегральным условием

$$(8) \quad \varepsilon = 2\nu \int_0^\infty k^2 E(k) dk$$

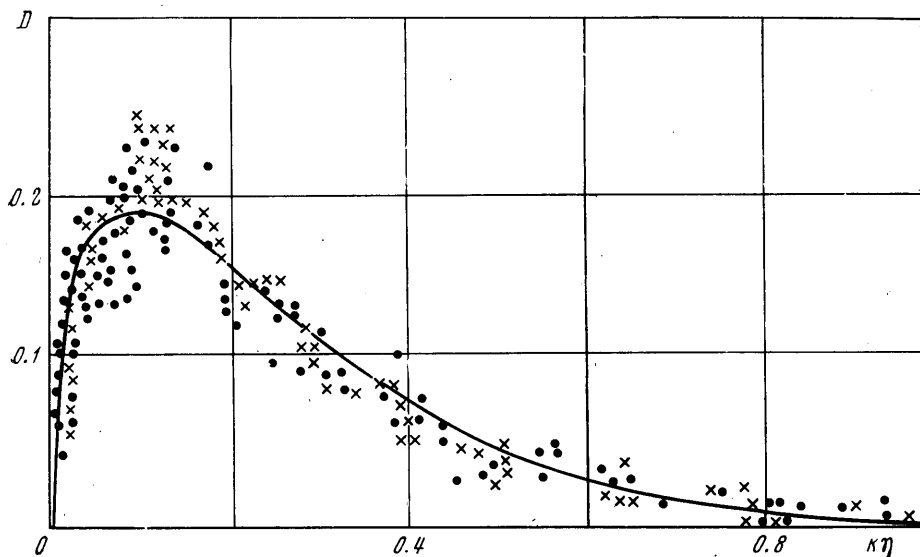
Подставив сюда выражение для  $E$  (7) и выполнив некоторые преобразования, значение  $\kappa$  выражим через эмпирическую постоянную  $\kappa$  и получим следующее выражение для спектральной функции:

$$\frac{E}{e_v} = \frac{\kappa^3}{2I} \frac{1}{\exp(\kappa \eta k)^{5/3} - 1}$$

$$I = \int_0^\infty \frac{x^2}{\exp x^{5/3} - 1} dx = F(1.8) \xi(1.8) = 1.0258$$

$$F(z) = \int_0^\infty e^{-t} t^{z-1} dt, \quad \xi(z) = \sum_{n=1}^\infty \frac{1}{z^n}$$

Исследуем асимптотическое поведение спектральной функции. При относительно малых волновых числах, разлагая экспоненту в ряд и удерживая в нем первые два,



Фиг. 2

затем первые три члена, получим соответственно формулу Колмогорова и выражение аналогичное по структуре формуле Гейзенберга [1].

$$E = \frac{\kappa^{4/5}}{2I} \epsilon^{2/3} k^{-5/3}, \quad E = \frac{\kappa^{4/5}}{2I} \frac{\epsilon^{2/3} k^{-5/3}}{1 + (\kappa \eta k)^{5/3}}$$

В области больших волновых чисел имеет место асимптотическая формула

$$E = \frac{\kappa^3}{2I} e_v \exp(-\kappa \eta k)^{5/3}$$

из которой видно, что спектральная функция убывает по экспоненциальному закону.

Для сравнения с опытными данными рассчитывалась одномерная спектральная функция по известной формуле

$$E_1(k) = \int_{k_1}^\infty \frac{E(k)}{k} \left( 1 - \frac{k_1^2}{k^2} \right) dk$$

Путем сопоставления с экспериментом было выбрано значение  $\kappa=0.4$ . На фиг. 1 (фиг. 7, 6 из [1]) приведено сопоставление расчета и опыта по спектру изотропной турбулентности (пунктирная линия — «закон»  $5/3$ ). Использование здесь логарифмических масштабов по обеим осям координат в какой-то мере скрывает разброс

экспериментальных данных относительно расчетной кривой. Поэтому на фиг. 2 дано сравнение с нормированным спектром диссипации в натуральном масштабе (фиг. 7 из [1]). Через  $D$  обозначена величина  $D=(\eta k)^2(\epsilon v^5)^{1/4}E_1(k)$ . Из обоих графиков видно, что, несмотря на некоторый разброс индивидуальных эмпирических данных, разнородные экспериментальные данные ряда авторов согласуются с теоретической кривой.

Поступила 20 IX 1973

## ЛИТЕРАТУРА

- Монин А. С., Яглом А. М. Статистическая гидромеханика. М., «Наука», 1965.

УДК 532.517.4:538.4

### ВЛИЯНИЕ ПРОДОЛЬНОГО МАГНИТНОГО ПОЛЯ НА ТЕЧЕНИЕ ЭЛЕКТРОПРОВОДНОЙ ЖИДКОСТИ В КРУГЛОЙ ТРУБЕ С ВНЕЗАПНЫМ СУЖЕНИЕМ НА ВХОДЕ

Б. Н. БАУШЕВ, В. С. НИКОЛАЕНКО, И. Г. ПАНЕВИН

(Москва)

На основе методики, разработанной в [1], изучается влияние условий входа в экспериментальный участок на характер течения электропроводной жидкости в круглой трубе в продольном магнитном поле.

Эксперимент проводился на установке, описанной в работе [1]. Вход в экспериментальный участок (гладкая труба из немагнитной нержавеющей стали длиной 2120 мм с внутренним диаметром  $6 \pm 0.005$  мм) из подводящей трубы диаметром 20 мм находился в зоне действия однородного магнитного поля и был выполнен в виде внезапного сужения с полууглом  $90^\circ$ . Выбранное соотношение диаметров экспериментального и подводящего каналов (0,33) позволяло сохранять ламинарный режим течения в подводящей трубе при наличии турбулентного течения в экспериментальном участке вплоть до чисел Рейнольдса  $R = \langle u \rangle d / v \leq 7500$  ( $\langle u \rangle$  — средняя скорость,  $d$  — диаметр трубы,  $v$  — коэффициент кинематической вязкости).

В отличие от работы [1] в настоящем исследовании использовался дисковый охлаждаемый водой соленоид, который обеспечивал получение однородного магнитного поля до 0,8 тл (с точностью  $\pm 2,5\%$ ) на протяжении 2120 мм.

В процессе эксперимента измерялись: распределение статического давления по длине экспериментального участка при помощи 32 стеклянных двухжидкостных пьезометров, объемный расход жидкости (расходомером Вентури), температура жидкого металла на входе в экспериментальный участок и на выходе из него при помощи хромель-копелевых термопар, ток в соленоиде. Распределение статического давления по длине экспериментального участка измерялось как в отсутствие, так и при наличии магнитного поля, причем магнитное поле накладывалось на исходное турбулентное течение.

Коэффициент сопротивления рассчитывался на формуле  $\lambda = -(2d/\rho)\langle u \rangle^{-2}dp/dx$ , где  $dp/dx$  — градиент статического давления на участке стабилизированного течения.

Результаты измерений представлены на фиг. 1 в виде зависимостей  $\lambda$  от чисел Рейнольдса  $R$  и Гартмана  $H = Bd/\sigma/\rho v$  (где  $B$  — индукция магнитного поля,  $\rho$  — плотность, а  $\sigma$  — электропроводность жидкости). Точки 1 и 2 на фиг. 1, а, б, в, г, д соответствуют значениям  $H$ , указанным в круглых скобках, (0,50), (0,89), (0,128), (0,146), (0,166). В качестве примера на фиг. 1, а, в, г приведены экспериментальные точки 3, полученные в работе [2], видимо, при аналогичных условиях входа соответственно для значений  $H = 47, 110$  и  $144$ . Кривая А на фиг. 1 соответствует закону Пуазейля, а кривая Б — закону Блазиуса.

Видно, что значения  $\lambda$  для стабилизированного течения совпадают с кривой Пуазейля при  $R < R_{*B}$ , где  $R_{*B}$  — значение критического числа Рейнольдса, соответствующее началу перехода от ламинаризованного режима течения к турбулентному при определенной величине индукции магнитного поля.

Для  $H = 50, 89, 128, 146$  и  $166$  получены соответственно  $R_{*B} = 3040, 4080, 5150, 5650$  и  $6400$ . Эти результаты приведены на фиг. 2 (точки 1) в виде зависимости  $R_{*B}/R_*$  от числа Стюарта  $S_* = H^2/R_{*B}$ , также соответствующего началу перехода от ламинаризованного режима течения к турбулентному. Там же показаны результаты работы [1] (точки 2) и нанесена прямая, аппроксимирующая экспериментальные данные работы [2].

$$(1) \quad R_{*B}/R_* = 1 + 0.4S_*$$

Видно, что данные настоящего исследования согласуются с результатами работ [1, 2].